

# 环形 Josephson 结中圆对称孤子解的微扰分析\*

王强华 王 炜 姚希贤

南京大学物理系;非线性动力学中心,南京, 210008

1991 年 1 月 14 日收到

本文用微扰方法,研究环形 Josephson 结中有扰动情形下 sine-Gordon 方程的圆对称孤子解,得到孤子的动力学方程的解析形式。所得的 I-V 曲线(第一零台阶)与数值计算结果符合得很好。

PACC: 7450; 0340K

## 一、引言

近年来,人们对 Josephson 隧道结和超导弱连结进行了广泛的研究。特别是最近, Josephson 结作为一个典型的系统被用来研究混沌和动力学的其它特性<sup>[1,2]</sup>。另外,由于高温超导体样品具有颗粒性,其相关长度  $\xi$  很小,以及样品中的不均匀性,晶界的存等,使得人们研究高温超导体的性质时,必须考虑到 Josephson 耦合这一重要因素<sup>[3]</sup>。此外, Josephson 结有着广泛的应用前景。一个例子是用来作微电子器件。这是因为 Josephson 结中的特殊的电动力学性质如磁通量子化,磁通量子的传播、激发及湮没等<sup>[4]</sup>。

对一维长 Josephson 结人们已做了许多研究工作。在不存在外磁场时, I-V 曲线上表现的奇异性(零台阶)对应着磁通量子(或孤子)的共振传播,由此所辐射的电磁波具有高频和窄带宽等特点。耦合排列的多个 Josephson 结能够锁相磁通子的运动,从而提高输出的辐射功率<sup>[5]</sup>。

环形结也具有单个一维 Josephson 结的特征,因为在环形结中可以存在圆对称孤波<sup>[6]</sup>。同时,如果环形结的外边界及宽度很大,则相当于许多一维 in-line 结的耦合排列,因此,单个环形 Josephson 结就可以有相当满意的输出功率。

我们以前的工作中对环形结(如图 1 所示)的静态特性和动力学行为进行了研究<sup>[7-10]</sup>,特别是对于“大结”( $W \gg \lambda_J$ ),在无耗散情形下环形结(即圆对称 sine-Gordon 方程)具有环形孤子解,并发现存在回波效应<sup>[8]</sup>。另外,在  $\alpha$  为 0.2 即大耗散情形,讨论了其旋转周期解<sup>[9]</sup>。在文献[10]中用数值方法研究了环形结中的孤波特性和第一零台阶

\* 国家自然科学基金资助的课题。

阶。

但是,孤子能否在环形结中稳定地传播,决定于环形结的内外半径、耗散情形、偏置电流和外磁场等参数。如果能从孤子在环形结中的运动的解析形式加以讨论,无疑对解决上述问题是十分重要的。

本文首先用微扰方法<sup>[2]</sup>求出环形结中单孤子动力学方程的解析形式,然后讨论第一零场台阶,所得结果与数值计算结果进行比较,两者很好地符合。

## 二、微扰分析

环形结中圆对称自场方程为<sup>[6,9,10]</sup>

$$\phi_{\rho\rho} + \frac{1}{\rho} \phi_\rho - \phi_{tt} = \alpha \phi_t + \sin \phi, \quad (1)$$

其中  $\rho$  为结中各处到中心的距离,  $\phi$  为结上下超导体序参量的位相差。本文没有考虑结的表面损耗。(1)式中  $\alpha$  项为准粒子隧穿引起的耗散。有关单位的归一化问题见文献[6,9,10]。

提供外磁场的电流  $I_H$  和结偏置电流  $I_b$  通过边界条件影响结内的动力学行为

$$\phi_\rho = \begin{cases} I_H / 2\pi R_i & \rho = R_i; \\ (I_H + I) / 2\pi R_e & \rho = R_e, \end{cases} \quad (2a)$$

其中  $I_H$  为结中心引线上的电流,  $I_b$  为结偏置电流, 均以  $j_c \lambda_j^2$  为单位。

图 1 环形 Josephson 结示意图  
结内外半径为  $R_i, R_e$ ; 结宽  $W = R_e - R_i$ ; 中心引线用以通电流  $I_H$  给环形结加圆对称的外磁场

结自由能为

$$E = \int 2\pi \rho d\rho \left( \frac{1}{2} \phi_\rho^2 + \frac{1}{2} \phi_t^2 + 1 - \cos \phi \right). \quad (3)$$

由(1),(3)式得到

$$dE/dt = 2\pi(\rho \phi_t \phi_\rho) \Big|_{R_i}^{R_e} - \int \alpha \phi_t^2 2\pi \rho d\rho. \quad (4)$$

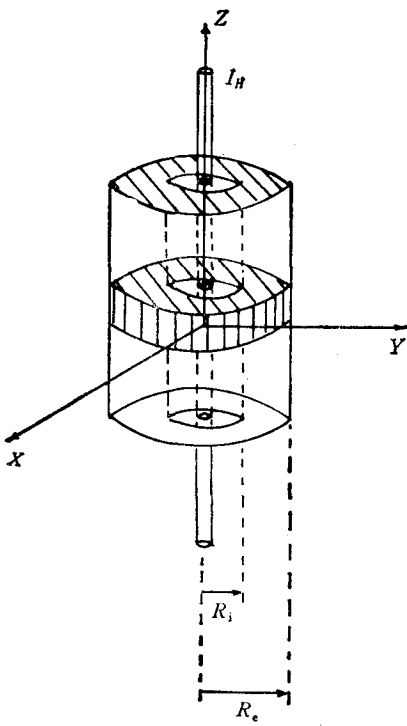
可见,结自由能的变化来源于两部分。一部分为边界的能量馈入(或损失),一部分为结中的能量耗散。

假定方程(1)具有如下形式的孤子解<sup>[2]</sup>:

$$\phi = 4 \tan^{-1} \exp \frac{\sigma(\rho - R)}{\sqrt{1 - u^2}}, \quad (5a)$$

其中  $R$  为孤子中心位置,  $u$  为其速度, 且

$$R = R_0 + \int_0^t u(t') dt', \quad u = dR/dt.$$



考虑到  $u$  为时间的缓变函数, 作为零级近似<sup>[2]</sup>, 有

$$\phi_\rho = \frac{2\sigma}{\sqrt{1-u^2}} \operatorname{sech} \frac{\sigma(\rho-R)}{\sqrt{1-u^2}}, \quad (5b)$$

$$\phi_t = -\frac{2u\sigma}{\sqrt{1-u^2}} \operatorname{sech} \frac{\sigma(\rho-R)}{\sqrt{1-u^2}}. \quad (5c)$$

$\sigma = \pm 1$  分别标记正、反孤子。注意(5)式中  $R = R(t)$ ,  $u = u(t)$ , 计算  $\phi_t$  时忽略了对  $u$  的时间微分。

在进一步分析之前, 假定:

1.  $R_i \geq 5$ , 可以验证此时附录中近似计算的相对误差小于  $10^{-6}$ 。因为孤子存在于结中, 故  $R \geq R_i \geq 5$ 。

2. 在结中的孤子, 可等效于一个在  $0-\infty$  空间范围内存在的孤子。孤子只是运动到边界时才感到边界的影响<sup>[2, 11, 12]</sup>。这实际上等效于将孤子看成一个点粒子。因此, 本模型可称为孤子的点粒子模型。这里的假设必须结合假设 1, 即  $R \geq R_i \geq R_{i(\min)}$ ,  $R_{i(\min)} \geq 5$ ,  $R$  为孤子中心的位置。

由于孤子一经与边界碰撞后, 极性改变即  $\sigma$  变号, 速度  $u$  也变号, 故对传播孤子, 其  $\phi_t$  不变号,  $\phi_\rho$  则每经一次碰撞后改变符号。这可以从(5b), (5c)式中看出。对  $2\pi$ -kink, 结中任意处, 孤子经历一次,  $\phi$  改变  $\pm 2\pi$ , 故对往返运动的传播孤子, 每周期  $\phi$  改变  $\pm 4\pi$ , “±”号决定于  $\phi_t$  (或  $-u\sigma$ ) 的符号。而在边界处,  $\phi$  的变化集中在孤子运动到该边界稍前到稍后的一段很小的时间  $\tau$  内, 即

$$\Delta\phi|_{\text{边界}} \doteq \int_{t_1}^{t_1+\tau} \phi_t|_{\text{边界}} dt \approx \pm 4\pi, \quad (6)$$

其中  $t_1$  为碰撞边界稍前时刻。考虑到

$$\Delta E = \int \left( \frac{dE}{dt} \right) dt,$$

结合(4), (6)式可知, 孤子运动过程可大致描述为: 孤子在边界吸收(或损失)能量, 在结中, 边界对孤子则无影响, 孤子只是耗散其能量。如果能量的吸收与耗散正好平衡, 则此孤子能稳定地在结中往返传播。图 2 为以上过程的示意图。 $\Delta E_i$ ,  $\Delta E_e$  分别为孤子在内、外边界时的能量所得。

下面将具体求出孤子在边界及在结中的能量变化关系。

孤子与内边界碰撞时,  $\phi_t|_{R_i} \approx 0$ , 故

$$\Delta E_i = - \int 2\pi R_i \phi_\rho(R_i) \phi_t(R_i) dt,$$

$\phi_\rho(R_i)$ ,  $\phi_t(R_i)$  表示  $\rho = R_i$  时的  $\phi_\rho$ ,  $\phi_t$ 。积分区间为碰撞稍前和稍后的一段时间  $\tau$ 。由(2)和(6)式得

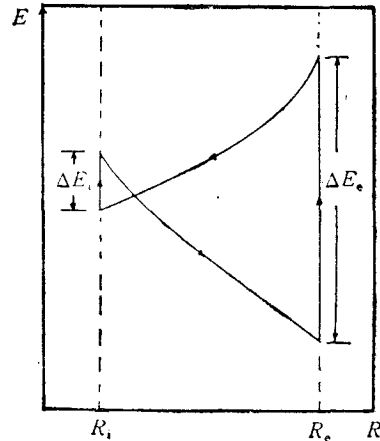


图 2 孤子在环形结中运动的能量  $E$  与位置  $R$  的关系  
孤子在边界吸收或放出能量, 在结中则仅仅耗损其能量; 如果二者平衡, 则孤子周期性地在环结中往返传播

$$\Delta E_i = -(\pm 4\pi I_H). \quad (7a)$$

特别地, 当  $I_H = 0$ , 有

$$\Delta E_i = 0.$$

孤子与外边界碰撞,  $\phi_i|_{R_i} \approx 0$ , 同理有

$$\Delta E_e = \pm 4\pi(I_H + I_b). \quad (7b)$$

特别地,  $I_H = 0$  时有

$$\Delta E_e = \pm 4\pi I_b.$$

(7a),(7b)等式中“±”号决定于  $\phi_i$  的符号(或者  $-u\sigma$  的符号)

考虑孤子在边界的行为后, 现着手讨论孤子在结中的行为。

按微扰方法, 将(5)诸式分别代入(3),(4)式, 并注意到上面两个假设, 进行计算(见附录), 则由(5),(3)式得

$$E = 16\pi R/\sqrt{1-u^2}, \quad (8a)$$

另由(5),(4)式得

$$dE/dt = -16\pi\alpha Ru^2/\sqrt{1-u^2}, \quad (8b)$$

再对(8a)式相对  $t$  微分

$$dE/dt = 16\pi u/\sqrt{1-u^2} + 16\pi Ru(1-u^2)^{3/2} \frac{du}{dt}.$$

上式与(8b)式等同, 结合后得

$$\frac{du}{dt} = -\frac{1}{R}(1-u^2) - \alpha u(1-u^2). \quad (8c)$$

若令  $P = -\int_0^\infty \rho \phi_i \phi_\rho d\rho$ , 不难验证(见附录)

$$P \approx +8Ru/\sqrt{1-u^2}.$$

再令  $Z = P/8R$ , 结合(8c)式, 有

$$\frac{dZ}{dt} = -\frac{1}{uR}Z - \alpha Z. \quad (8d)$$

此方程只有当  $R \rightarrow \infty$  或  $\alpha = 0$  时严格可解。

综合(5),(7),(8)诸式, 已得到决定孤子运动的完整方程。为典型的点模型的结果。

计算孤子动力学行为的方法是: 孤子在环形结中的状态由(8c)式决定, 到边界时, 由(8a)式计算此时的能量  $E$ , 加上(7)式决定的因碰撞边界引起的能量跃变  $\Delta E_i$  (或  $\Delta E_e$ ), 得到下一步运动的初始能量, 再由(8a)式计算下一步返回时的初速度。如此反复。当往返一次的时间即周期  $T$  成为固定值时, 则此孤子已达到稳定运动的状态。

### 三、结果与讨论

(8c)或(8d)式清楚地表明, 环形结中动力学行为的特殊之处, 即  $R^{-1}$  项, 其贡献犹如对孤子始终施加一向内的吸引力, 使孤子向内收缩。所以  $R_i$  愈小, 孤子愈不稳定。这也是我们强调环形结, 而不是圆形结值得研究的一个理由。反之, 当  $R \rightarrow \infty$  时, (8c)式回到

一维 in-line 结的微扰分析结果<sup>[2,11]</sup>:

$$du/dt = -\alpha u(1 - u^2).$$

用(7),(8)诸式计算环形结 I-V 曲线中的第一零台阶, 对应的是单孤子在结中的往返运动。方法是求出在各种偏置电流  $I_b$  下孤子运动稳定后往返一次所需时间即周期  $T$ , 则对应的直流平均电压可表示为

$$V = 4\pi/T.$$

从(8c)式可知, 孤子向内、向外的运动有所不同, 因此, 孤子从  $R_e \rightarrow R_i$  所花时间  $T_{ei}$  和从  $R_i \rightarrow R_e$  所花时间  $T_{ie}$  是不同的, 但两者之和  $T$  在孤子达到稳定后是固定不变的, 从而  $V$  稳定。

图 3 中实线为微扰理论得到的结果, 作为比较, 给出相同参数下数值计算的结果, 在图 3 中以点表示。环形结参数均为  $I_H = 0$ ,  $\alpha = 0.01$   $R_i = 20$   $R_e = 30$ 。

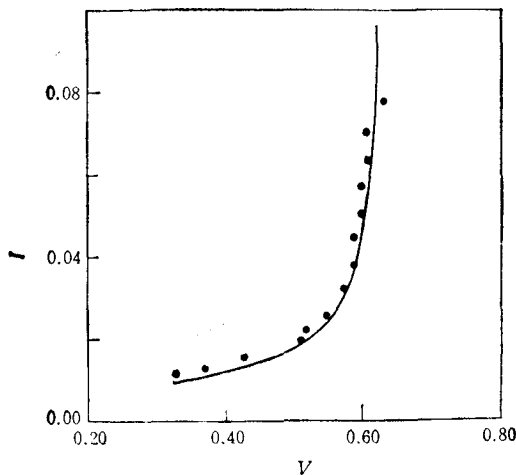


图 3 环形结 I-V 特性中的第一零台阶 实线为理论值;点为数值计算值;  
 $I = I_b/\pi(R_e^2 - R_i^2)$  为平均偏置电流密度;  $V$  为结平均直流电压

从图 3 看出, 两者符合得很好, 台阶范围也基本相同。当偏置电流密度  $I_b > 0.09$  后, 数值计算表明孤波解不稳定, 最后随  $I$  的增加通向旋转周期解。对于我们的理论结果,(7),(8)式则表明孤波速度  $u \approx 1$ , 即孤子的惯性质量成为无穷大, 由此可以判断, 此时孤子是不稳定的。另一方面, 当  $I < 0.009$  时, 理论结果表明不存在稳定的传播孤子。因为此时从外界输入的能量太小, 不足以平衡耗散掉的能量, 此后孤子将达不到外边界便开始返回向内, 即回波。由于耗散一直存在, 故孤子经若干次回波后, 最终将静止在内边界, 对应的直流平均电压自然为零。有趣的是数值计算的结果也证实以上预言。我们将在最近给出有关回波效应等的详细讨论。

从偏置电流的嵌入形式来看, 本文讨论的环形结与一维 in-line 结类似, 故其所表现的动力学特性也有些类似。但因为 sin-Gordon 方程中  $\rho^{-1}$  项的存在, 使得所需解决的问题变得更为复杂。在本文微扰结果中表现在(8)式中的  $R^{-1}$  项。

## 四、结语

本文用微扰方法得到单孤子在环形 Josephson 结中的动力学方程, I-V 曲线的第一零台阶, 并与数值计算结果进行了比较, 两者符合很好。本文实际上用的是点模型, 即把孤子看成为点粒子, 因此为使以上理论更好地适用,  $R_i$ ,  $W$  即结的内径及宽度不能太小。当然, 二者愈大愈好。更进一步的讨论将近期报道。为验证以上理论, 详细的数值计算结果将另文发表。

## 附 录

在计算(8a), (8b)式时, 注意到本文两个假设, 对  $\rho$  的积分限取为  $0 \rightarrow \infty$ , 按(5)诸式积分, 最后取以下两个近似:

$$(I) = \int_0^\infty \rho d\rho \operatorname{sech}^2 \left( \frac{\sigma(\rho - R)}{\sqrt{1 - u^2}} \right),$$

$\operatorname{sech}$  函数为偶函数, 故(I)与  $\sigma = \pm 1$  无关。将式中  $\rho - R$  换为  $x$ , 则有

$$(I) = \int_{-R}^\infty (x + R) dx \operatorname{sech}^2 \frac{x}{\sqrt{1 - u^2}}.$$

考虑到  $R \geq 5$  (或  $R \gg 1$ ), 上式近似为

$$(I) \approx \int_{-\infty}^\infty (x + R) dx \operatorname{sech}^2 \frac{x}{\sqrt{1 - u^2}}.$$

考虑到被积函数的两部分各自的奇偶性, 有

$$(I) \approx R \int_{-\infty}^\infty dx \operatorname{sech}^2 \frac{x}{\sqrt{1 - u^2}} = 2R \sqrt{1 - u^2}. \quad (\text{A.1})$$

另外,

$$(II) = \int_0^\infty (1 - \cos\phi) \rho d\rho,$$

其中  $\phi$  由(5a)式给出。同理可得

$$(II) \approx 2 \int_{-\infty}^\infty \sin^2 \frac{\phi(x)}{2} (x + R) dx,$$

其中  $\phi(x) = 4 \tan^{-1} \exp \sigma x / \sqrt{1 - u^2}$ ,  $\sigma = \pm 1$ , 读者可以验证  $\sin^2(\phi(x)/2)$  为一偶函数, 因此, (II) 也与  $\sigma = \pm 1$  无关。进一步考虑上一积分式中被积函数两部分各自的奇偶性, 有

$$(II) \approx 2R \int_{-\infty}^\infty \sin^2 \frac{\phi(x)}{2} dx = 4R \sqrt{1 - u^2}. \quad (\text{A.2})$$

应用(A.1), (A.2)式, 则可从(5), (3)式得到(8a)式, 从(5), (4)式得到(8b)式。

可以验证, 对(A.1), (A.2)式所作的近似, 其相对误差很小。当  $R \geq 5$ , 相对误差可在  $10^{-6}$  以下。这是因为孤子半宽度最大不超过 1, 因此,  $R \geq 5$  已经是一个良好的近似。

- [1] R. L. Kautz and J. C. Macfarlane, *Phys. Rev.*, **A33**, (1986), 498.
- [2] A. C. Scott and D. W. McLaughlin, *Phys. Rev.*, **A18** (1978), 1652.
- [3] J. G. Bednorz and K. A. Muller, *Z. Phys.*, **B64** (1986), 189.
- [4] A. Barone and G. Paterno, *Physics and Applications of the Josephson effect*, Wiley, New York, (1982).
- [5] S. Pagano et al., *IEEE Trans. Magn.*, **25**(1989), 1080.
- [6] Wei Wang, A. L. Thomson, Xixian Yao, to be published in *Phys. Rev. A*.
- [7] Wei Wang, Xixian Yao, *J. Low Temp. Phys.*, **71**(1988), 463.
- [8] Wei Wang, Xixian Yao, *J. Phys. A*, **22**(1989), 2447.

- [9] Wei Wang, A. L. Thomson, Xixian Yao, *Phys. Rev.*, **B43**(1991), 1.  
[10] 徐昆明、姚希贤, 低温物理学报, **9**, (1987), 25  
[11] M. Salerno, *Phys. Lett.*, **A144** (1990), 453.  
[12] M. Salerno et al., *Phys. Lett.*, **A137**(1990), 75.

## CIRCULARLY SYMMETRIC SOLITON SOLUTION IN AN ANNULAR JOSEPHSON JUNCTION

WANG QIANG-HUA WANG WEI YAO XI-XIAN

Department of Physics, Center of the Nonlinear Dynamical Systems, Nanjing University, Nanjing, 210008

(Received 14 January 1991)

### ABSTRACT

We have analysed the circularly symmetric sine-Gordon equation with bias and dissipation by means of a simplified perturbation theory. Analytic solutions that describe the dynamical behaviour of a quasisoliton trapped within the annular junction have been obtained. Between the results of our theory and numerical simulation, there exists a good agreement for the first zero field step (ZFS) in the  $I$ - $V$  characteristic. A brief discussion of our results is also presented.

PACC: 7450; 0340K